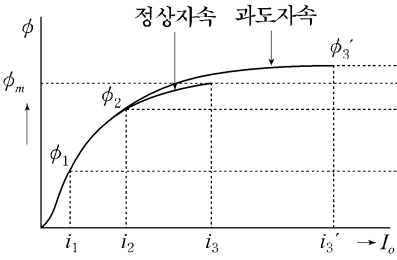
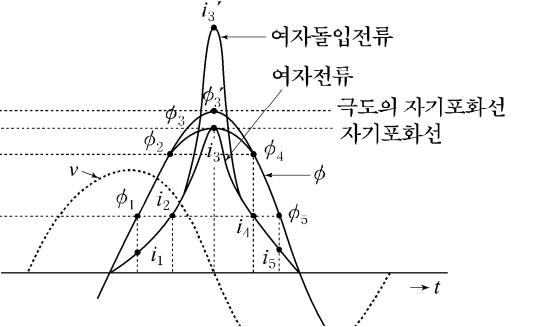


2022) 건축전기설비기술사 1차 정오표[2023.4.26]

■ 제 2장 변압기

| 페이지 | 항 목 | 오 | 정 |
|-----|-----------------|-----------------------------------------------------------------------------------------------------------------------------------------|-------------------------------------------------------------------------------------------------------------------------------------------------|
| 88 | 문제 7 Ⅱ. 수정 | 전원이 파고치에 도달한 점(a)에서 스위치를 투입하면 자속 ϕ 는 $\frac{\pi}{2}$ 시점인 0점에서 출발, $\frac{1}{4}$ 주기동안 전압은 적분한 ϕ_m 크기의 정상자속이 되어 여자전류는 작은 값이 된다. | 전원이 파고치에 도달한 점(a)에서 스위치를 투입하면 자속 ϕ 는 $\frac{\pi}{2}$ 시점인 0점에서 출발, $\frac{1}{4}$ 주기동안 <u>전압</u> 을 적분한 ϕ_m 크기의 정상자속이 되어 여자전류는 작은 값이 된다. |
| 89 | 문제 7 2) 그림수정 |  |  |

■ 제 5장 콘덴서, 리액터

| 페이지 | 항 목 | 오 | 정 |
|-----|-------------------|-------------------------------------------------------------------------------------------------------------------------------------------------------------------------------------------------------------------------|-------------------------------------------------------------------------------------------------------------------------------------------------------------------------------------------------------------------------|
| 261 | 문제 1 2. 그림 수정 | | |
| 263 | 문제 1 3. 그림 수정 | <p> $\Delta P = P_2 - P_1 = S_1(\cos\theta_2 - \cos\theta_1)$ (kW) (S일정시) $\Delta S = S_1 - S_2 = P_1\left(\frac{1}{\cos\theta_1} - \frac{1}{\cos\theta_2}\right)$ (kVA) (P일정시) </p> | <p> $\Delta P = P_2 - P_1 = S_1(\cos\theta_2 - \cos\theta_1)$ (kW) (S일정시) $\Delta S = S_1 - S_2 = P_1\left(\frac{1}{\cos\theta_1} - \frac{1}{\cos\theta_2}\right)$ (kVA) (P일정시) </p> |
| 265 | 문제 2 IV. 그림 수정 | <p>과보상시 전류 벡터도</p> <p>과보상시 전력 벡터도</p> | <p>과보상시 전류 벡터도</p> <p>과보상시 전력 벡터도</p> |
| 277 | 예제 1번 2. 수정 | <p>역으로 콘덴서에 대한 리액터의 임피던스비 (d)가 증가 \rightarrow 콘덴서 및 리액터의 단자전압 상승</p> | <p>역으로 콘덴서에 대한 리액터의 임피던스비 (α)가 증가 \rightarrow 콘덴서 및 리액터의 단자전압 상승</p> |

■ 제 6장 지락, 감전보호

| 페이지 | 항 목 | 오 | 정 |
|-----|------------------|--------------------------------------|-----------------------------------------------|
| 303 | 문제 2 제목 수정 | 간접접촉 보호 중 전원의 자동차단에 의한 보호에 대하여 | <u>고장</u> 보호 중 전원의 자동차단에 의한 보호에 대하여 |
| 306 | 문제 3 I. 개요 수정 | 관련규정 : EC-213.1, KSC IEC 60364-4-442 | 관련규정 : <u>KEC</u> -213.1, KSC IEC 60364-4-442 |

■ 제 8장 접지설비

| 페이지 | 항 목 | 오 | 정 |
|-----|------------|---|---|
| 455 | 참고 3 그림 수정 | | |

■ 제 9장 계기용변성기

| 페이지 | 항 목 | 오 | 정 |
|-----|-------------------|------------------|------------------|
| 516 | 문제 5번 II. 그림수정 | <p>(a=1로 가정)</p> | <p>(a=1로 가정)</p> |

■ 제 10장 보호계전

| 페이지 | 항 목 | 오 | 정 |
|-----|------------------|---------------------|---------------------|
| 584 | 문제 6번 3. 번호수정 | 3. 기계적 보호장치(유입식 TR) | Ⅲ. 기계적 보호장치(유입식 TR) |

■ 제 13장 전력간선

| 페이지 | 항 목 | 오 | 정 |
|-----|-----------------------|-------------------------------------------------------------------|----------------|
| 5 | 문제 1번 Ⅱ. 8-(2)-③ 표 | ③ 전압강하 범위(내선규정) | ③ 전압강하 범위(KEC) |
| 14 | 문제 4번 Ⅲ. 내용 삭제 | $400V$ 미만 $\rightarrow E_3$, $400V$ 이상 $\rightarrow E_{s3}$ (삭제) | |
| 23 | 참고 1 제목 수정 | 설비 불평형률 한도(내선규정 1410-1절) | 설비 불평형률 한도 |

■ 제 14장 전동기 제어

| 페이지 | 항 목 | 오 | 정 |
|-----|-------------------------|-----------------------------------------------------------------|-----------------------------------------------------------------------------------------------------------------------------------------------------|
| 67 | 문제 1번 II.-1. 제목 수정 | 1. 로렌츠힘과 Fleming 왼손법칙 | 1. 로렌츠힘과 <u>Fleming</u> 왼손법칙 |
| 68 | 문제 1번 II.-1.-2) 제목수정 | (2) Fleming 왼손법칙 | (2) <u>Fleming</u> 왼손법칙 |
| | 2. 제목수정 | 2. 평등자계 내 도체가 운동할 때의 유기기전력(Fleming 오른손 법칙) | 2. 평등자계 내 도체가 운동할 때의 유기기전력(<u>Fleming</u> 오른손 법칙) |
| 129 | 문제 1번 ③ 그림 수정 | | <p>전압 일정상태 주파수 증가시키면 토크가 감소 ↓ 주파수에 비례한 전압 제어 토크 일정 $\frac{V}{f} = \text{contant}$</p> |
| | | | <p>전압 일정상태시 주파수 증가시키면 토크가 감소 ↓ 주파수에 비례한 전압 제어시 토크 일정 $T = \frac{P}{\omega} \propto \frac{V}{f} = \text{contant}$</p> |
| | (4)-② 수정 | ② 고속운전시 동기속도 근처에서 부하토크와 평행하므로 안정도가 높아 부하변동에 대한 속도변동이 작고 연속제어 가능 | ② <u>정적운전시</u> 동기속도 근처에서 부하토크와 평행하므로 안정도가 높아 부하변동에 대한 속도변동이 작고 연속제어 가능 |

■ 제 17장 조명설비

| 페이지 | 항 목 | 오 | | 정 | |
|-----|----------------------|---------------|----|-------|-----|
| 392 | 문제 33번 (8)-① 표 수정 | 구분 | LH | 국토교통부 | 서울시 |
| | | ASP'(lx/nit) | 22 | 18 | 15 |
| | | Con'c(lx/nit) | 13 | 17 | 10 |

■ 제 19장 고조파

| 페이지 | 항 목 | 오 | | 정 | |
|-----|-------------------|-----------|-----------------------------------------------------------------------------------------------------------------------------------------------------------|--------------------------------------------------------------------------------------------------------------------|--|
| 486 | 문제 7번 IV. 표 수정 | 구 분 | 수동 Filter | 능동 Filter | |
| | | 고조파 억제 효과 | <ul style="list-style-type: none"> •분로를 설치한 차수만 억제됨 (5,7,11차의 3종류 필터 조합이 표준) •저차, <u>고조파</u> 확대 현상 있음 •전원 임피던스 영향이 큼 | <ul style="list-style-type: none"> •임의의 고조파 동시 억제 기능 •저차 고조파 확대 없음 •전원 임피던스 영향 적음 | |
| | | | | | |

■ 제 23장 기초이론

| 페이지 | 항 목 | 오 | 정 |
|-----|-----------------------|------------------------------------------------------------------------------------------------------------------------------------------------------------------------------------|------------------------------------------------------------------------------------------------------------------------------------------------------------------------------------------------------|
| 698 | 문제 12번 III. 그림수정 | | |
| 699 | 문제 12번 III. -2. 수정 | <p>2. 무효전력 $P_r = VI\sin\theta$ (kVAR)</p> <p>유효전력 $P_a = VI\cos\theta$ (kW)</p> <p>피상전력 $P = VI$ (kVA)</p> $= P_a - jP_r = \sqrt{P_a^2 + P_r^2}$ | <p>2. 무효전력 $P_r = VI\sin\theta$ (kVAR)</p> <p>유효전력 $P_a = VI\cos\theta$ (kW)</p> <p>피상전력 $P = VI^*$ (kVA) (<u>지상부하기준</u>)</p> $= P_a + jP_r = \sqrt{P_a^2 + P_r^2}$ |